

РАСШИРЕНИЕ КОНДЕСАТА В КОЛЬЦЕВОЙ ЛОВУШКЕ В КВАЗИКЛАССИЧЕСКОМ ПРИБЛИЖЕНИИ ДЛЯ УРАВНЕНИЯ ГРОССА-ПИТАЕВСКОГО

А.Е. Кулагин

Научный руководитель: профессор, д.ф.-м.н. А.Ю. Трифонов

Национальный исследовательский Томский политехнический университет,

Россия, г. Томск, пр. Ленина, 30, 634050

E-mail: ae88@tpu.ru

EXPANSION OF THE CONDENSATE IN A RING-SHAPED TRAP IN A SEMICLASSICAL APPROXIMATION FOR THE GROSS-PITAEVSKII EQUATION

A.E. Kulagin

Scientific Supervisor: Prof., Dr. A.Yu. Trifonov

Tomsk Polytechnic University, Russia, Tomsk, Lenin str., 30, 634050

E-mail: ae88@tpu.ru

Abstract. *The nonlocal Gross-Pitaevskii equation describing the expansion of the Bose-Einstein in the ring-shaped trap potential is studied in a semiclassical approximation. The first-order Hamilton-Ehrenfest system for the semiclassically concentrated solutions of the given Gross-Pitaevskii equation is considered. The correspondence between the solutions of the Hamilton-Ehrenfest system and the numerical solutions of the initial Gross-Pitaevskii equation is shown. The remarks about the applicability of the semiclassical approximation to the considered problem are given.*

Введение. Для описания бозе-эйнштейновского конденсата (БЭК) в ловушках широко используется уравнение Гросса-Питаевского. Развитие экспериментальных возможностей позволило получать БЭК в ловушках со сложной геометрией (см. [1, 2] и ссылки в них). Поэтому наряду с экспериментальным интересом возник интерес и к математическому описанию таких структур. В работе [3] был предложен метод построения решений задачи Коши для нелокального уравнения Гросса-Питаевского, квазиклассически сосредоточенных на кривых, динамика которых описывается «классическими» уравнениями (системой Гамильтона-Эренфеста). Качество квазиклассического приближения во многом определяется тем, насколько хорошо «классические» уравнения описывают эволюцию кривой локализации конденсата. В данной работе мы рассматриваем задачу описания расширения конденсата в кольцевой ловушке с помощью системы Гамильтона-Эренфеста в рамках метода, представленного в работе [3]. Интерес к такой задаче был вдохновлен работой [2], в которой описывается эксперимент по расширению конденсата в ловушке с кольцевым потенциалом.

Математическая модель. Расширение конденсата в кольцевой ловушке описывается решением задачей Коши для нелокального уравнения Гросса-Питаевского вида

$$\left\{ -i\hbar\partial_t + V(\mathbf{p}, \mathbf{x}) + \kappa \int_{\square^2} W(\mathbf{x}, \mathbf{y}) |\Psi(\mathbf{y}, t)|^2 d\mathbf{y} \right\} \Psi(\mathbf{x}, t) = 0, \quad (1)$$

где $\mathbf{p} = -i\hbar\partial_{\mathbf{x}}$, $\mathbf{x} = (x_1, x_2)$, κ – параметр нелинейности. Функции $V(\mathbf{p}, \mathbf{x})$, $W(\mathbf{x}, \mathbf{y})$ и начальное условие выбирались следующими:

$$V(\mathbf{p}, \mathbf{x}) = \mathbf{p}^2 - \exp \left[\frac{-(|\mathbf{x}|-1)^2}{0,25} \right], \quad W(\mathbf{x}, \mathbf{y}) = \frac{1}{0,25\pi} \exp \left[-\frac{(\mathbf{x}-\mathbf{y})^2}{0,25} \right],$$

$$\Psi(\mathbf{x}, 0) = N \cdot \exp \left[-\frac{(|\mathbf{x}|-1)^2}{\hbar} \right] \cdot \exp \left[-\frac{\sin^2(\varphi/2)}{0,16} \right], \quad \varphi = \arg(x_1 + i \cdot x_2). \quad (2)$$

Здесь N – нормировочный коэффициент (квадрат модуля волновой функции нормируется на единицу).

Квазиклассически сосредоточенными на многообразии Λ_t^1

$$\Lambda_t^1 = \{z = (\mathbf{p}, \mathbf{x}) = Z(s, t) = (\mathbf{P}(s, t), \mathbf{X}(s, t)) | s \in [0, 2\pi], t \in [0, T], T > 0\} \quad (3)$$

функциями называются функции, для которых существует предел

$$\lim_{\hbar \rightarrow 0} \langle \hat{A} \rangle = \lim_{\hbar \rightarrow 0} \frac{\langle \Psi | \hat{A} | \Psi \rangle}{\|\Psi\|^2} = \int_0^{2\pi} \sigma(s) A(Z(s, t), t) ds, \quad (4)$$

$$\langle \Psi | \hat{A} | \Psi \rangle = \int_{\square^2} \Psi^*(\mathbf{x}, t) \hat{A} \Psi(\mathbf{x}, t) d\mathbf{x}, \quad \|\Psi\|^2 = \langle \Psi | \mathbb{I} | \Psi \rangle.$$

Здесь $\sigma(s)$ – весовая функция, а \hat{A} – оператор с вейлевским символом $A(z, t)$. Функции $\mathbf{P}(s, t)$ и $\mathbf{X}(s, t)$ несут информацию об эволюции многообразия Λ_t^1 (3) и определяются системой Гамильтона-Эренфеста первого порядка:

$$\begin{cases} \dot{\mathbf{X}}(s, t) = V_p(\mathbf{P}(s, t), \mathbf{X}(s, t)), \\ \dot{\mathbf{P}}(s, t) = -V_x(\mathbf{P}(s, t), \mathbf{X}(s, t)) - \tilde{\kappa} \int_0^{2\pi} \sigma(r) W_x(\mathbf{X}(s, t), \mathbf{X}(r, t)) dr, \quad \tilde{\kappa} = \frac{\kappa}{\|\Psi\|^2}. \end{cases} \quad (5)$$

Выбирая в качестве параметра многообразия в начальный момент времени $s = \varphi$, имеем следующие весовую функцию и начальные условия для системы (5), соответствующие начальному условию (2):

$$\mathbf{P}(s, 0) = (0, 0), \quad \mathbf{X}(s, 0) = (\cos s, \sin s), \quad \sigma(s) = \exp \left[-\frac{\sin^2(\varphi/2)}{0,08} \right].$$

Для оценки качества квазиклассического приближения были построены численные решения уравнения (1) и уравнения (5). Для иллюстрации решений (5) использовался набор точек на многообразии для разных s с шагом $\Delta s_i = 0,15/\sigma(s_i)$, чтобы плотность точек отображала плотность конденсата в квазиклассическом приближении в заданной точке многообразия. Для решения уравнения (1) использовался метод расщепления оператора Странга-Марчука и метод Кранка-Николсон. Решения уравнения (5) строились методом расщепления оператора Странга-Марчука и неявным методом средней точки. На рис. 1 и рис. 2 представлены графики плотности $|\Psi(\mathbf{x}, t)|^2$ и кривой $\mathbf{x} = \mathbf{X}(s, t)$ для $\kappa = 1$, $\hbar = 0,1$ (рис. 1) и $\hbar = 0,05$ (рис. 2).

Обсуждение результатов. Из рис. 1-2 видно, что решение системы Гамильтона-Эренфеста первого порядка дает хорошую оценку скорости расширения конденсата в кольцевой ловушке, причем при уменьшении параметра \hbar кривая $\mathbf{x} = \mathbf{X}(s, t)$ дает более точное описание локализации конденсата, что свидетельствует о квазиклассическом характере процесса. Таким образом, в квазиклассическом приближении заполнение конденсатом кольцевой ловушки можно описать решениями системы (5), не

решая само уравнение Гросса-Питаевского (1). В частности, решение системы (5) позволяет определить время, за которое он полностью заполняет ловушку. Стоит отметить, что оценка малого параметра \hbar по условиям эксперимента [2] дает даже меньшее значение, чем на рис. 2, которое было специально увеличено для большей наглядности рисунков, т.е. такое приближение представляет интерес с точки зрения физики. Отметим, что неинтегральная часть уравнения (5) хорошо линейаризуется в окрестности многообразия Λ_1^1 . При такой линейаризации или для квадратичной по своим аргументам функции $V(\mathbf{p}, \mathbf{x})$ система (5) интегрируется в квадратурах.

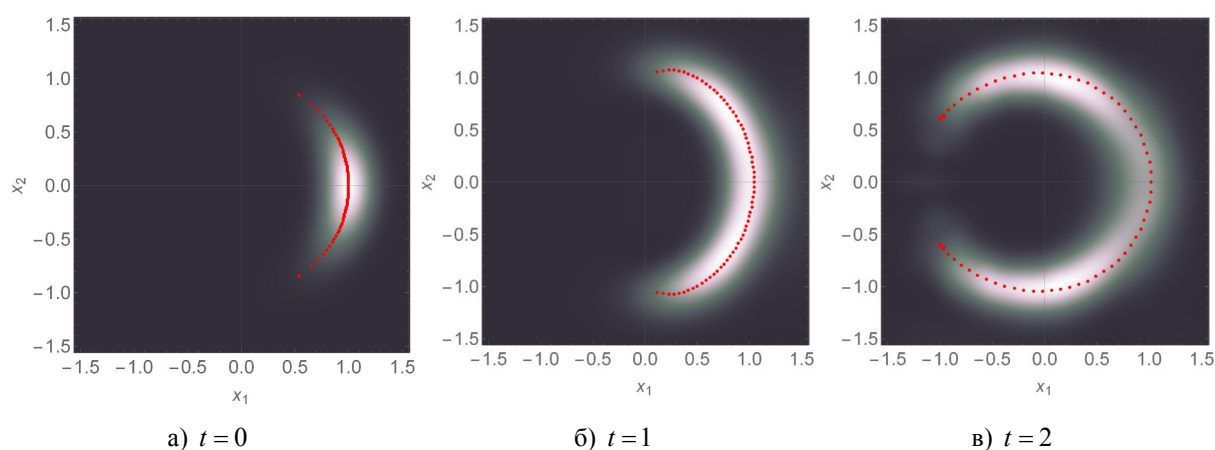


Рис. 1. График плотности $|\Psi(\mathbf{x}, t)|^2$ и кривой $\mathbf{x} = \mathbf{X}(s, t)$ для разных t и $\hbar = 0,1$

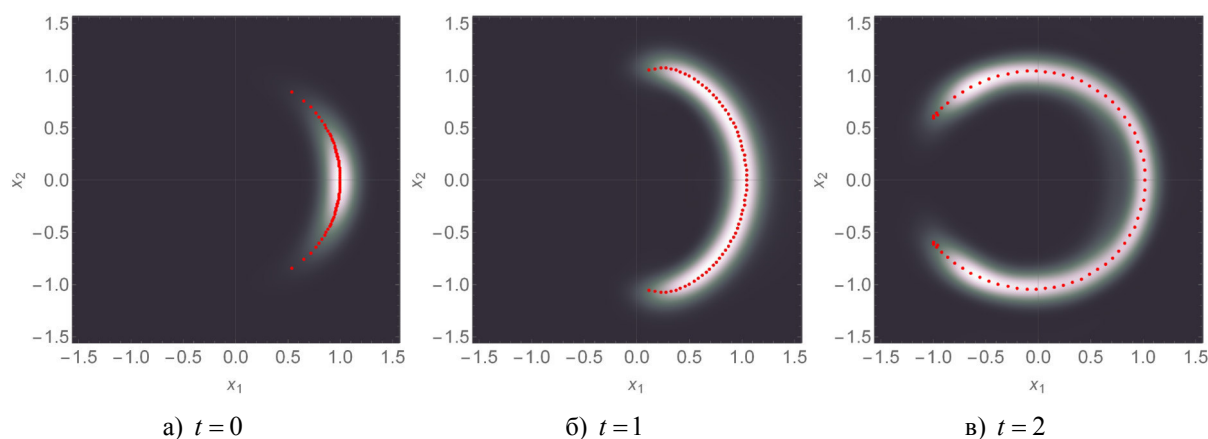


Рис. 2. График плотности $|\Psi(\mathbf{x}, t)|^2$ и кривой $\mathbf{x} = \mathbf{X}(s, t)$ для разных t и $\hbar = 0,05$

Исследование выполнено при финансовой поддержке РФФИ и Томской области в рамках научного проекта № 19-41-700004.

СПИСОК ЛИТЕРАТУРЫ

1. Miesner H., Ketterle W. Bose-Einstein condensation in dilute atomic gases // Solid State Communications. – 1998. – V. 107, № 11. – pp. 629-637.
2. Bell T.A., Glidden J.A.P., Humbert L., Bromley M.W.J., Haine S.A., Davis M.J., Neely T.W., Baker M.A., Rubenzstein-Dunlop H. Bose-Einstein condensation in large time-averaged optical ring potentials // New Journal of Physics. – 2016. – V. 18, no. 3. – article 035003.
3. Shapovalov A.V., Kulagin A.E., Trifonov A.Yu. The Gross-Pitaevskii equation with a nonlocal interaction in a semiclassical approximation on a curve // Symmetry. – 2020. – V. 12, № 2. – article 201.